

## Apéndice A

CEEA Análisis isotópico para fechamiento Ar-Ar de la muestra NI 27.

NI 27 plagioclasa

VG5400 calentamiento por pasos con láser.

	Pwr	F <sup>39</sup> Ar	<sup>39</sup> Ar <sub>cum</sub>	Edad en Ma	% <sup>40</sup> Ar <sub>atm</sub>	% <sup>40</sup> Ar*	<sup>37</sup> Ar <sub>Ca</sub> / <sup>39</sup> Ar <sub>K</sub>		
1°	1.10	0.1058	0.1058	25.4 ± 3.0	90.58	9.42	2.40	1	‡
	2.10	0.1339	0.2397	29.5 ± 1.1	54.23	45.77	4.43	2	‡
	3.30	0.1618	0.4014	32.5 ± 0.9	42.28	57.72	4.33	3	
	4.50	0.2699	0.6713	35.2 ± 0.9	34.92	65.08	5.53	4	
	7.00	0.3287	1.0000	34.4 ± 0.7	38.45	61.55	6.98	5	
2°	1.00	0.1657	0.1657	31.1 ± 2.9	88.23	11.77	3.39	1	‡
	1.40	0.0413	0.2071	32.8 ± 1.8	27.45	72.55	4.72	2	
	3.00	0.2283	0.4354	33.2 ± 0.7	36.38	63.62	4.57	3	
	4.00	0.1514	0.5868	34.6 ± 1.0	41.09	58.91	5.43	4	§
	5.50	0.1549	0.7417	34.2 ± 1.2	45.42	54.58	6.24	5	§
	7.00	0.2583	1.0000	35.9 ± 0.8	42.66	57.34	6.79	6	§

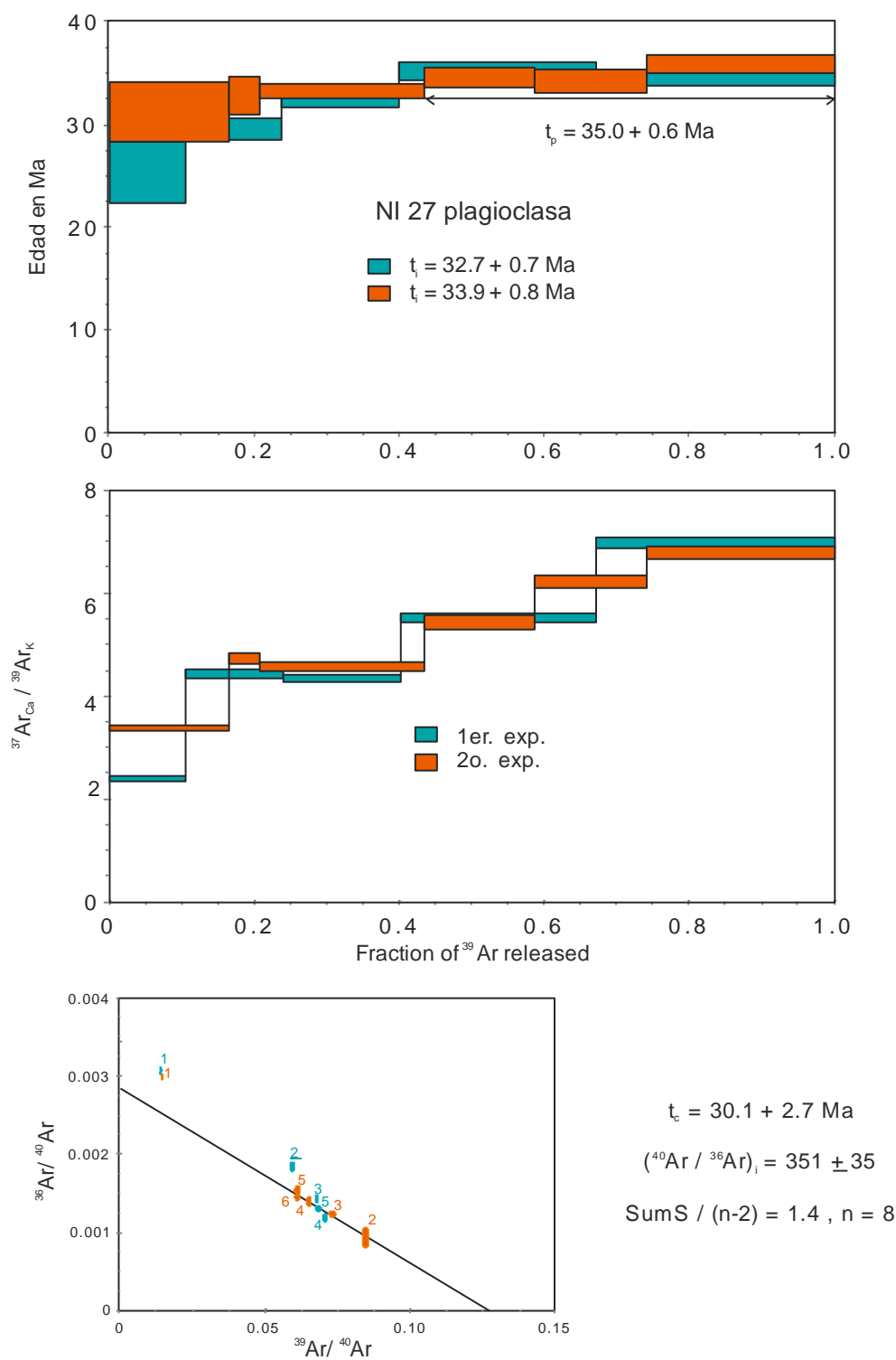
### Resultados integrados

	<sup>39</sup> Ar	<sup>40</sup> Ar*/ <sup>39</sup> Ar <sub>K</sub>	Edad in Ma	<sup>37</sup> Ar <sub>Ca</sub> / <sup>39</sup> Ar <sub>K</sub>	% <sup>40</sup> Ar <sub>atm</sub>	% <sup>40</sup> Ar*	<sup>40</sup> Ar/ <sup>36</sup> Ar
1°	4.827E-04	6.11 ± 0.10	32.7 ± 0.7	5.33	58.71	41.29	503.3
2°	5.326E-04	6.34 ± 0.12	33.9 ± 0.8	5.34	63.29	36.71	466.9

‡ Fracciones ignoradas en el cálculo de la isócrona de la Figura A1

§ t<sub>p</sub> = 35.0 ± 0.6 Ma, 3 fracciones ~ 57 % de pérdida de <sup>39</sup>Ar

Figura A1.



**A2. Análisis geocronológicos U-Pb para zircones de la muestra PLCC-022 de la andesita Coneto. Ubicación: 13R, 2762200N, 523300W.**

Análisis	U (ppm)	Th/U	<sup>207</sup> Pb/ <sup>206</sup> Pb	±1s	RELACIONES ISOTÓPICAS					EDADES APARENTES (Ma)						Edad		
																mejor	±1s	
					<sup>207</sup> Pb/ <sup>235</sup> U	±1s	<sup>206</sup> Pb/ <sup>238</sup> U	±1s	±1s	Rho	<sup>206</sup> Pb/ <sup>238</sup> U	±1s	<sup>207</sup> Pb/ <sup>235</sup> U	±1s	<sup>207</sup> Pb/ <sup>206</sup> Pb	±1s	(Ma)	
Zircón_11	347	1.34	0.06921	0.00511	0.05979	0.00498	0.00627	0.00009	0.00002	0.25	40.3	0.6	59	5	905	144	40	1
Zircón_12	183	0.67	0.06891	0.00303	0.06238	0.00284	0.00660	0.00008	0.00215	0.26	42.4	0.5	61	3	896	85	42	1
Zircón_13	251	0.61	0.06833	0.00457	0.06165	0.00454	0.00654	0.00009	0.00003	0.26	42	0.6	61	4	879	130	42	1
Zircón_15	352	0.68	0.05493	0.00236	0.04600	0.00203	0.00610	0.00006	0.00006	0.23	39.2	0.4	46	2	409	87	39	0
Zircón_17	382	0.63	0.05218	0.00245	0.04470	0.00214	0.00623	0.00006	0.00005	0.20	40	0.4	44	2	293	97	40	0
Zircón_18	914	0.38	0.05510	0.00329	0.04524	0.00287	0.00595	0.00005	0.00002	0.23	38.3	0.3	45	3	416	121	38	0
Zircón_19	416	0.47	0.05033	0.00274	0.04289	0.00250	0.00618	0.00006	0.00002	0.20	39.7	0.4	43	2	210	112	40	0
Zircón_20	430	0.55	0.05732	0.00224	0.04760	0.00190	0.00604	0.00005	0.00006	0.20	38.8	0.3	47	2	504	78	39	0
Zircón_21	311	0.43	0.06137	0.00585	0.05154	0.00525	0.00609	0.00008	0.00003	0.20	39.1	0.5	51	5	652	188	39	1
Zircón_23	260	0.48	0.06825	0.00273	0.05899	0.00248	0.00631	0.00008	0.00007	0.31	40.5	0.5	58	2	876	75	41	1
Zircón_24	560	0.37	0.05219	0.00141	0.04660	0.00132	0.00650	0.00005	0.00005	0.30	41.8	0.3	46	1	294	56	42	0
Zircón_3	796	0.37	0.04871	0.00132	0.04220	0.00117	0.00630	0.00004	0.00005	0.21	40.5	0.3	42	1	134	63	41	0
Zircón_4	342	0.57	0.05327	0.00293	0.04535	0.00266	0.00617	0.00005	0.00002	0.23	39.7	0.3	45	3	340	123	40	0
Zircón_6	861	0.96	0.05857	0.00158	0.04851	0.00136	0.00601	0.00005	0.00004	0.27	38.6	0.3	48	1	551	58	39	0
Zircón_8	254	0.61	0.06169	0.00216	0.05425	0.00201	0.00640	0.00008	0.00007	0.33	41.1	0.5	54	2	663	74	41	1
Zircón_14	311	0.56	0.05092	0.00581	0.04411	0.00529	0.00628	0.00009	0.00010	0.29	40.4	0.6	44	5	237	248	40	1

**Figura A2. Muestra PLCC-022, andesita Coneto.**

